

新风向? ——2DGS (2D高斯泼溅) 横空出世

之前读完了3D高斯泼溅，收获颇丰，可没想到的是2D高斯泼溅也在三月份接踵而至。让我们一起解读一下！

论文地址: [2D Gaussian Splatting for Geometrically Accurate Radiance Fields](#)

代码地址: [2d-gaussian-splatting](#)

一. 论文解读

Abstract

作者认为，3D高斯虽然最近很火，但是它也有一个比较大的缺陷——**由于多视图的不一致性，3D高斯泼溅无法很好的表示物体的几何表面。**因此作者泼溅，其核心在于 将3D体积折叠为一组2D定向平面高斯圆盘。2D高斯泼溅能够在建模表面时提供视图一致的几何表面。为了精准恢复薄表面和稳定优化，光线投射和光栅化的视角精确2D泼溅过程，并且加入了深度失真和法向一致性来确保重建的质量。

1.1 Introduction

作者首先提出来过去的工作不咋样balabala，然后转而引入自己的2D高斯泼溅。

2D高斯泼溅使用基元来表示物体，每个基元定义为一个定向的椭圆形圆盘。

具体来说，3DGS在像素射线和3D高斯的交点处评估高斯值，这导致从不同视点渲染时深度不一致。相反，2DGS的方法利用显式的射线-泼溅交点，导致泼溅，此外，2D高斯基元中的固有表面法线通过法线约束实现了直接的表面正则化。

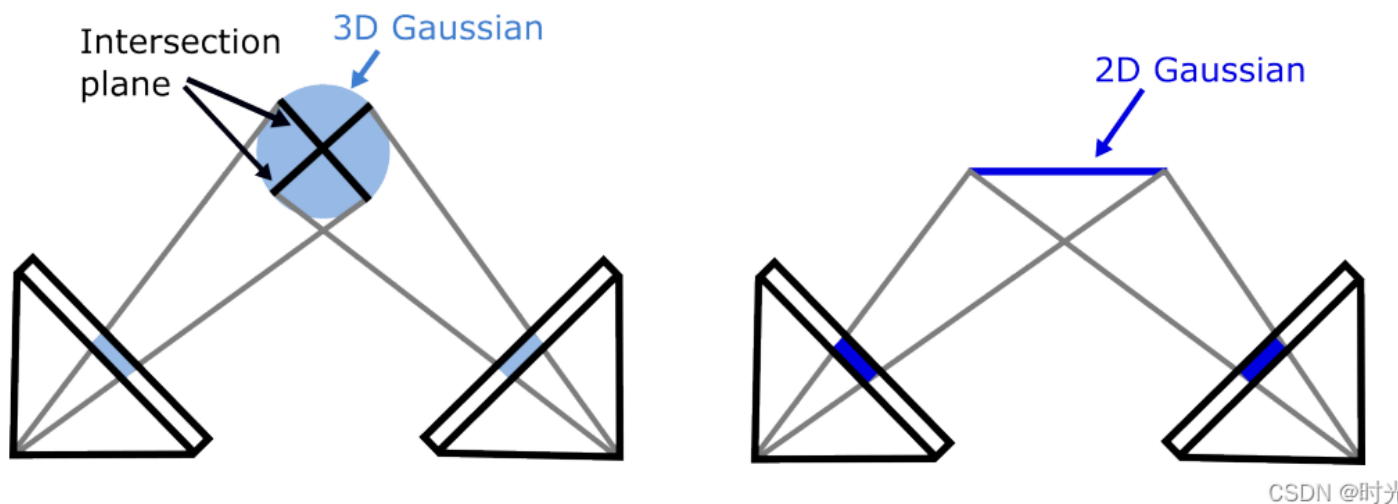
然而只依靠光度损失来重建仍然存在问题，为了增强重建并实现更光滑的表面，作者引入了两个正则化项：**深度失真和法线一致性**。

深度失真项集在狭窄范围内的2D基元，解决了渲染过程中忽略高斯之间距离的限制。法线一致性项最小化渲染法线图与渲染深度梯度之间的差异，确保由深度和法线对齐。

总而言之，本篇论文的contribution如下：

- 作者提出了一种高效的~~可微分~~2D高斯渲染器，通过利用2D表面建模、射线-泼溅交点和体积积分，实现了视角准确的泼溅。
- 作者引入了两个正则化损失，用于改进和无噪声的表面重建。
- 我们的方法相比其他显式表示方法，在几何重建和新视图合成结果上达到了最新的水平。

如下图所示就是3DGS和2DGS在几何表面的差异。左边是3DGS,右边是2DGS，可以看出，当相机在左边和右边分别观察时，3DGS的两次观察结果的交的。而2DGS可以确保看到的是同一个平面。



CSDN @时

1.2 Related Work

1.2.1 新视角合成

作者在这一段中再次总结了NeRF与3DGS的工作，然后再次强调2DGS怎么怎么好。

我这里有一篇快速了解NeRF和3DGS的文章：

[NeRF与3DGS速通](#)

1.2.2 3D重建

这部分同样没什么好说的，作者提出2DGS将重建速度提高了一个数量级。但是我认为这很有可能在3DGS中就已经达成。

1.2.3 可微分的基于点的图形

作者提出，本文他们将展示使用2D高斯基元进行详细的表面重建。还强调了在优化过程中额外正则化损失的重要作用，展示了它们对重建质量的显著影响。

然后作者礼貌起见，还是把3DGS单列出来提了一嘴hh

1.2.4 最近的工作

****最近的工作就是3DGS,SuGaR以及NeuSG。***与SuGaR不同，SuGaR使用3D高斯近似2D高斯，而我们的方法直接采用2D高斯，简化了过程并增强了额外的精细化。NeuSG联合优化3D高斯基元和隐式SDF网络，并仅从SDF网络中提取表面，而我们的方法利用2D高斯基元进行表面近似，提供了一种更好的解决方案。

1.3 3DGS

在3DGS这篇文章中，相关的作者使用3D基于的形式来表示物体：

$$\mathcal{G}(\mathbf{p}) = \exp\left(-\frac{1}{2}(\mathbf{p} - \mathbf{p}_k)^\top \Sigma^{-1}(\mathbf{p} - \mathbf{p}_k)\right)$$

其中3D维度下，坐标之间的协方差矩阵近似计算公式为：

$$\Sigma = \mathbf{R} \mathbf{S} \mathbf{S}^\top \mathbf{R}^\top$$

之后，为了最终实现在2D层面的渲染，3D视角通过视图变化矩阵W（先转化为相机视角），再乘以投影矩阵J得到了2D层面的协方差矩阵。

$$\Sigma' = \mathbf{J} \mathbf{W} \Sigma \mathbf{W}^\top \mathbf{J}^\top$$

最后，实现像素级别的重建：

$$\mathbf{c}(\mathbf{x}) = \sum_{k=1}^K \mathbf{c}_k \alpha_k \mathcal{G}_k^{2D}(\mathbf{x}) \prod_{j=1}^{k-1} (1 - \alpha_j \mathcal{G}_j^{2D}(\mathbf{x}))$$

然而（作者是会写论文的，每隔几段就要批评一下3DGS来凸显自己hh），3DGS在表面重建中遇到了很大的挑战：

首先，**3D**高斯的体积辐射表示与表面的薄性质相冲突。其次，**3DGS**无法本质上建模表面法线，但是这一点对于高质量表面重建至关重要。第三，**3DGS**缺乏多视图一致性，导致不同视图的2D交点平面不同。此外，使用仿射矩阵将3D高斯转换到射线空间仅在中心附近产生准确的投影，在周围区域则牺牲精度。

其实总而言之，作者硬是把一个创新拉成三个。作者最大的贡献点就是解决了几何表面的重建不准确问题，记住这一点就好。

1.4 2DGS正式出场

1.4.1 模型 架构

作者通过采用嵌入在3D空间中的“平坦”2D高斯来简化三维建模。在二维**高斯模型**中，2D基元将密度分布在平面圆盘内，并将法线定义为密度变化最快的方向。接下来是**2DGS**的数学解释，前方高能！！

首先我们可以找一个三维空间的点Pk作为一个基元建模的中心点，这个Pk同样是二维高斯分布的中心点。此外我们还知道两条主切向量tu和tv。根据tu和tv的方向及向量： $\mathbf{t}_w = \mathbf{t}_u \times \mathbf{t}_v$ ，由此得到的旋转矩阵 $\mathbf{R} = [\mathbf{t}_u, \mathbf{t}_v, \mathbf{t}_w]$ 是一个3×3的矩阵。除此之外，会有一个3×3的缩放对角矩阵，且该对角矩阵的最后一项为0。

这样，其实我们得到了2D坐标系下的一系列向量，那么可以经过一系列变化得到一个三维空间的点 $\mathbf{P}(\mathbf{u}, \mathbf{v})$ 。完整公式如下：

$$P(u, v) = \mathbf{p}_k + s_u \mathbf{t}_u u + s_v \mathbf{t}_v v = \mathbf{H}(u, v, 1, 1)^\top$$
$$\text{where } \mathbf{H} = \begin{bmatrix} s_u \mathbf{t}_u & s_v \mathbf{t}_v & \mathbf{0} & \mathbf{p}_k \\ 0 & 0 & 0 & 1 \end{bmatrix} = \begin{bmatrix} \mathbf{RS} & \mathbf{p}_k \\ \mathbf{0} & 1 \end{bmatrix}$$

我们举个例子：假设有如下参数，

$$\begin{aligned} \mathbf{p}_k &= [1, 1, 1] \\ \mathbf{t}_u &= [1, 0, 0] \\ \mathbf{t}_v &= [0, 1, 0] \\ s_u &= 2 \\ s_v &= 3 \\ u &= 0.5 \\ v &= 0.5 \end{aligned}$$

通过公式计算可以得到：

$$P(u, v) = [1, 1, 1] + 2 \cdot [1, 0, 0] \cdot 0.5 + 3 \cdot [0, 1, 0] \cdot 0.5 = [1, 1, 1] + [1, 0, 0] + [0, 1.5, 0] = [2, 2.5, 1]$$

$\mathbf{P}(\mathbf{u}, \mathbf{v})$ 表示在三维空间中的具体点，是通过局部切平面的二维坐标 (\mathbf{u}, \mathbf{v}) 转换得到的。这个转换考虑了中心点、主切向量和缩放因子的影响，使得二维高斯在三维空间中。最后的 $(\mathbf{u}, \mathbf{v}, 1, 1)$ 则是在齐次四维空间表示的坐标。

需要补充的是，对于uv空间的点 (u, v) ,它的2D高斯可以通过2D标准高斯公式评估：

$$G(\mathbf{u}) = \exp\left(-\frac{u^2 + v^2}{2}\right)$$

1.4.2 泼溅

作者通过找到三个位于不同平面上的交点来高效地定位射线-泼溅交点。

给定图像坐标 $\mathbf{x}=(\mathbf{x}, \mathbf{y})$ ，我们将像素的射线参数化为两个正交平面（ \mathbf{x} 平面和 \mathbf{y} 平面）的交点。具体来说， \mathbf{x} 平面由法向量 $(-1, 0, 0)$ 和偏移量 \mathbf{x} 定义。因此，一个四维齐次平面 $\mathbf{h}_x=(-1, 0, 0, \mathbf{x})$ 。类似地， \mathbf{y} 平面为 $\mathbf{h}_y=(0, -1, 0, \mathbf{y})$ 。因此，射线 $\mathbf{r}=(\mathbf{x}, \mathbf{y})$ 由 \mathbf{x} 平面和 \mathbf{y} 平面的交点决定。

接下来，我们将这两个平面变换到二维高斯基元的局部坐标系，即uv坐标系，注意，使用变换矩阵 \mathbf{M} 在平面上变换点等效于使用逆转置 \mathbf{M}^{-T} 变换齐次平应用 $(\mathbf{W}\mathbf{H})^{-1}$ 等效于使用 $(\mathbf{W}\mathbf{H})^T$,消除了显式矩阵逆运算，并得出：

$$\mathbf{h}_u = (\mathbf{W}\mathbf{H})^T \mathbf{h}_x \quad \mathbf{h}_v = (\mathbf{W}\mathbf{H})^T \mathbf{h}_y$$

之前我们得知，二维高斯平面上的点可以表示为 $(u, v, 1, 1)$,同时，交点应位于变换后的 \mathbf{x} 平面和 \mathbf{y} 平面上，因此：

$$\mathbf{h}_u \cdot (u, v, 1, 1)^T = \mathbf{h}_v \cdot (u, v, 1, 1)^T = 0$$

这导致了交点 $\mathbf{u}(\mathbf{x})$ 的有效解：

$$u(\mathbf{x}) = \frac{\mathbf{h}_u^2 \mathbf{h}_v^4 - \mathbf{h}_u^4 \mathbf{h}_v^2}{\mathbf{h}_u^1 \mathbf{h}_v^2 - \mathbf{h}_u^2 \mathbf{h}_v^1} \quad v(\mathbf{x}) = \frac{\mathbf{h}_u^4 \mathbf{h}_v^1 - \mathbf{h}_u^1 \mathbf{h}_v^4}{\mathbf{h}_u^1 \mathbf{h}_v^2 - \mathbf{h}_u^2 \mathbf{h}_v^1}$$

其中， h_i^l 和 h_j^l 是四维齐次平面参数的i-th参数。

除此之外，作者考虑到了其他的特殊解情况：

退化解 (Degenerate Solutions): 当二维高斯从倾斜角度观察时，在屏幕空间中可能会退化为一条线。这意味着在 **光栅化** 过程中，高斯分布可能会被染结果的精度降低。

为了处理这种情况，论文引入了一个低通滤波器来稳定优化过程。具体方法如下：

最大值滤波器：定义了一个新的高斯值 $\hat{\mathcal{G}}(x)$,它取原始高斯值 $\mathcal{G}(\mathbf{u}(x))$ 和低通滤波器值 $\mathcal{G}\left(\frac{x-c}{\sigma}\right)$ 的最大值。这样可以确保即使在退化情况下，二维高斯分处理。

其中, $u(\mathbf{x})$ 由上面的方程解给出, \mathbf{c} 是中心 \mathbf{p}_k 的投影。直观地说, $\hat{\mathcal{G}}(x)$ 由固定的屏幕空间高斯低通滤波器限定, 该滤波器的中心为 \mathbf{c}_k 且半径为 σ , 在实验 $\sigma = \sqrt{2}/2$ 以确保在渲染过程中使用足够的像素。

光栅化 (Rasterization):

光栅化是将高斯分布从几何表示转换为屏幕上的像素表示的过程。具体步骤如下:

1. 计算屏幕空间边界框: 为每个高斯基元计算屏幕空间的边界框, 用于确定哪些像素会被影响。
2. 深度排序和瓦片组织: 根据高斯分布中心的深度进行排序, 并根据边界框将它们组织成瓦片。这有助于优化渲染过程。
3. 体积 alpha 混合: 使用体积 alpha 混合从前到后集成高斯分布的 alpha 加权外观。这种方法确保了最终渲染图像的透明度和深度信息的正确处理。
alpha 混合过程如下:

$$\mathbf{c}(\mathbf{x}) = \sum_{i=1} \mathbf{c}_i \alpha_i \hat{\mathcal{G}}_i(\mathbf{u}(\mathbf{x})) \prod_{j=1}^{i-1} \left(1 - \alpha_j \hat{\mathcal{G}}_j(\mathbf{u}(\mathbf{x}))\right)$$

参数解释如下:

- \mathbf{c}_i 是第 i 个高斯分布的颜色。
- α_i 是第 i 个高斯分布的透明度。
- $\hat{\mathcal{G}}_i(\mathbf{u}(x))$ 是处理退化情况后的高斯值。

CSDN @时光诺言

1.5 Training

作者们的二维高斯方法虽然在几何建模上有效, 但在仅使用光度损失进行优化时可能会导致重建结果的噪声问题, 这是三维重建任务固有的挑战。因此, **真和法线一致性**两个关键术语。

1.5.1 深度失真

问题: 当使用三维高斯分布进行渲染时, 不同高斯分布可能会在深度上有交叠, 这会导致渲染结果中的深度和颜色出现混乱, 特别是在不同的高斯分布看上应该有不同深度时。

解决方案: 因此, 引入深度失真正则化项, **通过最小化交点之间的深度差距**, 来确保这些高斯分布在正确的深度位置上。这可以帮助集中权重分布, 使得加清晰和准确。
公式如下:

$$\mathcal{L}_d = \sum_{i,j} \omega_i \omega_j |z_i - z_j|$$

1.5.2 法线一致性

问题: 在渲染过程中, 如果二维高斯分布的法线 (指向相机的方向) 不一致, 会导致表面不光滑, 看起来不自然。特别是在处理半透明表面时, 这个问题
解决方案: 引入法线一致性正则化项, 通过对齐二维高斯分布的法线和实际表面的法线, 确保重建的表面是光滑的, 且局部几何形状准确。这意味着二维与由深度图估计的表面法线一致。

作者将二维高斯分布泼溅的法线与深度图的梯度对齐, 公式如下:

$$\mathcal{L}_n = \sum_i \omega_i (1 - \mathbf{n}_i^\top \mathbf{N})$$

其中, i 表示射线上的交叉泼测索引, ω 表示交点的混合权重, \mathbf{n}_i 代表泼测朝向相机的法线, \mathbf{N} 是由附近深度点 \mathbf{p} 估计的法线。具体来说, \mathbf{N} 通过有限差分

$$\mathbf{N}(x,y) = \frac{\nabla_x \mathbf{P} \times \nabla_y \mathbf{P}}{|\nabla_x \mathbf{P} \times \nabla_y \mathbf{P}|}$$

通过将泼溅法线与估计的表面法线对齐，作者确保二维泼溅在局部上逼近实际物体表面。

1.5.3 实验中用到的 损失函数

本实验最终的损失函数公式如下：

$$\mathcal{L} = \mathcal{L}_c + \alpha \mathcal{L}_d + \beta \mathcal{L}_n$$

参数解释如下：

\mathcal{L}_c ：这是一个RGB重建损失函数，用于度量重建图像与真实图像之间的差异。它结合了 \mathcal{L}_1 损失和 D-SSIM 项（结构相似性度量）。

\mathcal{L}_d ：这是深度失真正则化项，用于减少高斯分布之间的深度误差，确保深度信息的准确性。

\mathcal{L}_n ：这是法线一致性正则化项，用于确保高斯分布的法线与实际表面的法线一致，保证表面的光滑和自然。

α 和 β ：这些是权重系数，控制正则化项在总损失中的影响。

CSDN @时光诺言

作者通过实验得出，设定 $\alpha=1000$ 用于有界场景， $\alpha=100$ 用于无界场景， $\beta=0.05$ 适用于所有场景。

时间原因，代码解析以后有空再更吧。